

## СОВЕРШЕНСТВОВАНИЕ ГИДРАВЛИЧЕСКОГО РАБОЧЕГО ОБОРУДОВАНИЯ ДОРОЖНО-СТРОИТЕЛЬНЫХ МАШИН

© 2019 С.И. Сушкин<sup>1</sup>, О.Н. Бурмистрова<sup>2</sup>, В.А. Бурмистров<sup>2</sup>, Р.С. Тимохов<sup>2</sup>

<sup>1</sup> Воронежский государственный лесотехнический университет,

<sup>2</sup> Ухтинский государственный технический университет

Статья поступила в редакцию 15.02.2019

В представленной статье приведено решение задачи максимального использования потенциала гидравлического экскаватора, путем разработки конструкции грузоподъемного механизма. Данная конструкция содержит дополнительный механизм, позволяющий изменять параметры грузоподъемного механизма в зависимости от вида рабочего оборудования.

**Ключевые слова:** грузоподъемный механизм, гидравлическая система, угловая скорость, угловое ускорение.

Уровень совершенства механизмов на стадии проектирования зависит от достоверности расчетных схем и нагрузок. Поэтому при расчете нагрузок, преодолеваемых в момент движения рабочего оборудования гидравлического экскаватора, необходимо оценить влияние параметров грузоподъемного механизма (ГМ) на динамическую нагруженность гидроцилиндра стрелы.

Установлено, что типовые ГМ гидравлических экскаваторов имеют постоянные параметры присоединения гидроцилиндров стрелы к платформе для всех видов рабочего оборудования (РО), что свидетельствует о целесообразности разработки ГМ позволяющего изменять технологические параметры в зависимости от вариации используемого РО [1].

Для решения задачи максимального использования потенциала гидравлического экскаватора разработана конструкция ГМ содержащая дополнительный механизм, позволяющий изменять параметры ГМ в зависимости от вида рабочего оборудования [2].

На рис. 1 приведена расчетная схема параметров ГМ. Исследование параметров ГМ производится на основании математической модели, которая включает в себя [3]:

- определение угловых параметров

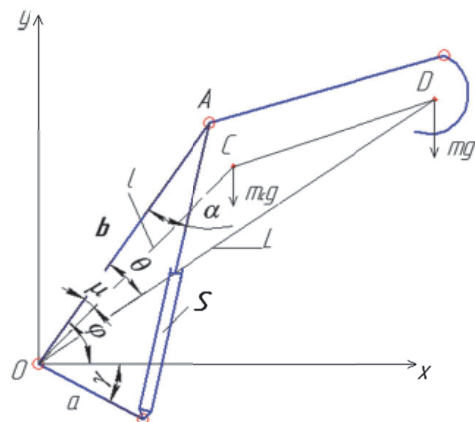


Рис. 1. Расчетная схема грузоподъемного механизма

$$\varphi = \arccos \left[ \frac{a^2 + b^2 - S^2}{2ab} \right], \quad (1)$$

$$\alpha = \arcsin \left[ \frac{a \sin(\varphi + \gamma)}{S} \right]. \quad (2)$$

- определение угловой скорости и ускорения

$$\omega = \frac{vS}{ab \sin \varphi}, \quad (3)$$

$$\varepsilon = \frac{v}{ab} \frac{v \sin \phi - S \omega \cos \phi}{\sin^2 \phi}. \quad (4)$$

- определение суммарной длины гидроцилиндра

$$S = S_0 + vt, \quad (5)$$

где  $S_0$  – минимальная длина гидроцилиндра подъема стрелы, м;  $t$  – время движения, с.

- определение усилия в гидроцилиндре стрелы в момент движения рабочего оборудования

Сушкин Сергей Иванович, заведующий кафедрой промышленного транспорта, строительства и геодезии, доктор технических наук. E-mail: kafedra\_prom\_transporta@list.ru  
Бурмистров Валерий Алфеевич, доцент кафедры Инженеринга технологических машин и оборудования УГТУ, кандидат технических наук. E-mail: rtimohov@ugtu.net  
Бурмистрова Ольга Николаевна, заведующая кафедрой Технологии и машины лесозаготовок УГТУ, доктор технических наук. E-mail: oburmistrova@ugtu.net  
Тимохов Роман Сергеевич, старший преподаватель кафедры Инженеринга технологических машин и оборудования УГТУ, кандидат технических наук. E-mail: rtimohov@ugtu.net

$$F = \frac{\left| (J_c + mL^2)\dot{\varphi} + g(m_c l \cos(\varphi - \mu) + mL \cos(\varphi - \theta)) \right|}{ab \sin(\gamma + \varphi)} \times \sqrt{a^2 + b^2 - 2ab \cos(\gamma + \varphi)}, \quad (6)$$

где  $J_c$  – момент инерции стреловой группы манипулятора.

Расчетные формулы (1 – 6), представляют собой математическую модель исследования и выбора параметров ГМ, при его движении, а именно параметров установки гидроцилиндра стрелы по критерию снижения величины усилия развивающегося гидроцилиндром стрелы и динамических нагрузок. Математическая модель ориентирована для реализации на ЭВМ с использованием программы написанной на языке Delphi [4], помимо выбора параметров, позволяет исследовать зависимость изменения режимных параметров от любых исходных. Исходными данными являются:  $L; l; m_c; m; S_0; \mu; \theta; v$  (см. рис.1).

В ходе исследования параметров ГМ, задаемся интервалами изменения параметров установки гидроцилиндра стрелы  $a$  ( $a_{j=0} \prec a \prec a_{j=n}$ ),  $b$  ( $b_{j=0} \prec b \prec b_{j=n}$ ),  $\gamma$  ( $\gamma_{j=0} \prec \gamma \prec \gamma_{j=n}$ ) и поочередно меняем каждый из них, при этом два других соответствуют стандартным значениям параметров ГМ данной размерной группы экскаватора. Процесс исследования параметров заключается в полном переборе вариантов параметров ГМ при изменении одного из параметров и фиксированных значениях двух других.

Такого рода исследование обеспечивает возможность выбора параметров ГМ, в наибольшей степени соответствующих предъявляемым техническим требованиям.

По формулам (1) и (2) определяем углы  $\varphi$  и  $\alpha$ , вычисляем суммарную длину  $S$  гидроцилиндра подъема стрелы по формуле (5). Определяем угловую скорость  $\omega$  и угловое ускорение  $\varepsilon$  стреловой группы, формулы (3) и (4), определяем величину усилия  $F$  развивающегося гидроцилиндром стрелы при подъеме рабочего оборудования по формуле (6). Строим графики зависимости  $\omega$  от  $t$ ,  $\varepsilon$  от  $t$  и  $F$  от  $t$ , для значений исследуемого параметра и выбираем его значение исходя из снижения величины усилия развивающегося гидроцилиндром стрелы и динамических нагрузок.

Исследование параметров ГМ гидравлического экскаватора:

1. Параметры  $a$  и  $\gamma$  – постоянны и соответствуют аналогу проектируемого ГМ экскаватора. Параметр  $b$  равен:

$$b=2,5+0,05j, \quad (7)$$

где  $j=0..10$ .

По формулам (1), (2) определяем углы  $\varphi$  и  $\alpha$ , вычисляем суммарную длину  $S$  гидроцилиндра подъема стрелы по формуле (5). Определяем угловую скорость  $\omega$  и угловое ускорение  $\varepsilon$  стреловой группы, формулы (3), (4). Строим графики зависимости  $\omega$  от  $t$ ,  $\varepsilon$  от  $t$  и  $F$  от  $t$ , для значений параметра  $a$  согласно уравнению (7), а также графики зависимости  $\omega$  от  $a$ ,  $\varepsilon$  от  $a$  и  $F$  от  $a$  при движении стреловой группы  $0 \prec t \prec i$ . На рис. (2 – 4) представлены зависимости угловой скорости  $\omega$ , углового ускорения  $\varepsilon$  и усилия в штоке  $F$  от времени  $t$  при различных значениях параметра  $b$ .

Увеличение параметра  $b$  приводит к уменьшению угловой скорости и углового ускорения стрелы и, как следствие, к увеличению динамических нагрузок. Минимальное (по абсолютной величине) усилие в штоке соответствует значениям  $b=2,7 - 2,9$  м.

Влияние параметра  $b$  на угловую скорость  $\omega$ , угловое ускорение  $\varepsilon$  и усилие в штоке  $F$  при различных положениях стрелы отражено на рис. (5 – 7).

Вопреки ожиданиям, перемещение точки  $A$  (см. рис. 1) крепления гидроцилиндра вправо приводит к увеличению средних угловой скорости и углового ускорения стрелы. Это объясняется уменьшением плеча  $AB$  относительно точки  $O$ . Минимальные угловые ускорения, динамические нагрузки и усилие в штоке гидроцилиндра соответствуют значениям  $b=2,7 - 2,9$  м. При значениях  $b=2,95 - 3,0$  м в начальный момент движения ГПМ происходит резкое увеличение динамических нагрузок. Угол качания стрелы при параметре  $b=2,7 - 3,0$  м меняется со  $100^\circ$  до  $115^\circ$ .

2. Параметры  $b$  и  $\gamma$  – постоянны и соответствуют аналогу проектируемого ГМ экскаватора. Параметр  $a$  равен:

$$a=0,8+0,05j, \quad (8)$$

где  $j=0..10$ .

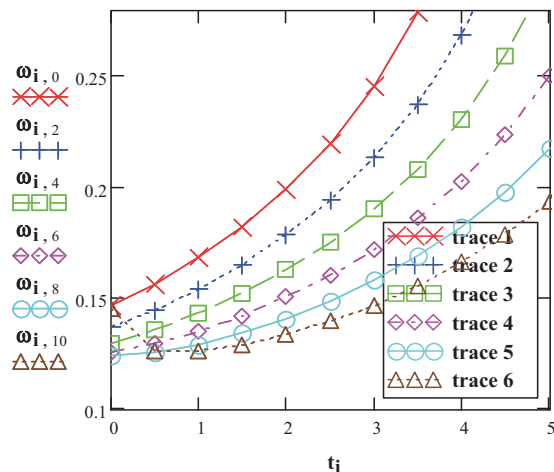
Аналогично, по формулам (1), (2) определяем углы  $\varphi$  и  $\alpha$ , вычисляем суммарную длину  $S$  гидроцилиндра подъема стрелы по формуле (5). Определяем угловую скорость  $\omega$  и угловое ускорение  $\varepsilon$  стреловой группы, формулы (3), (4). Строим графики зависимости  $\omega$  от  $t$ ,  $\varepsilon$  от  $t$  и  $F$  от  $t$ , для значений параметра  $a$  согласно уравнения (8), а также графики зависимости  $\omega$  от  $a$ ,  $\varepsilon$  от  $a$  и  $F$  от  $a$  при движении стреловой группы  $0 \prec t \prec i$ .

Зависимости угловой скорости  $\omega$ , углового ускорения  $\varepsilon$  и усилия в штоке  $F$  от времени  $t$  при различных значениях параметра  $a$  представлены на рис. (8 – 10).

Как следует из рис. 8, зависимость угловой скорости  $\omega$  от времени  $t$  для малых значений параметра  $a$  (кривые 1, 2) носят немонотонный характер.

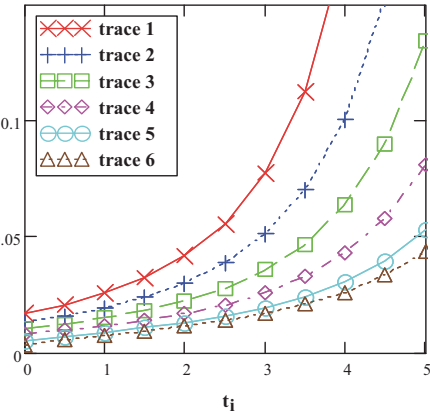
Минимальные значения  $\omega$ ,  $\varepsilon$ ,  $F$  наблюдаются при увеличении (для больших) параметра  $a$ .

Влияние параметра  $a$  на угловую скорость  $\omega$ , угловое ускорение  $\varepsilon$  и усилие в штоке  $F$  при различных положениях стрелы отражено на рис. (11 – 13).



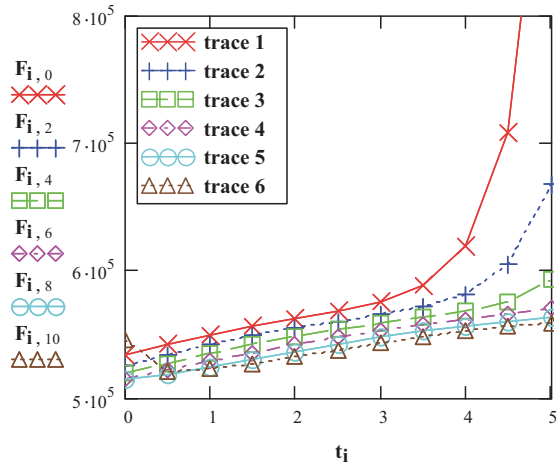
**Рис. 2.** Зависимость угловой скорости  $\omega$  от времени  $t$  для различных значений параметра  $b$ :

1 –  $b = 2,5$  м; 2 –  $b = 2,6$  м; 3 –  $b = 2,7$  м;  
4 –  $b = 2,8$  м; 5 –  $b = 2,9$  м; 6 –  $b = 3,0$  м



**Рис. 3.** Зависимость углового ускорения  $\varepsilon$  от времени  $t$  для различных значений параметра  $b$ :

1 –  $b = 2,5$  м; 2 –  $b = 2,6$  м; 3 –  $b = 2,7$  м;  
4 –  $b = 2,8$  м; 5 –  $b = 2,9$  м; 6 –  $b = 3,0$  м



**Рис. 4.** Зависимость усилия в гидроцилиндре  $F$  от времени  $t$  для различных значений параметра  $b$ :

1 –  $b = 2,5$  м; 2 –  $b = 2,6$  м; 3 –  $b = 2,7$  м;  
4 –  $b = 2,8$  м; 5 –  $b = 2,9$  м; 6 –  $b = 3,0$

Как следует из рис. 13, область изменения усилий  $F$  при  $a=1,2$  м почти в два раза меньше соответствующей области при  $a=0,8$  м. Параметр  $a$  должен быть четко согласован с параметром  $\gamma$ .

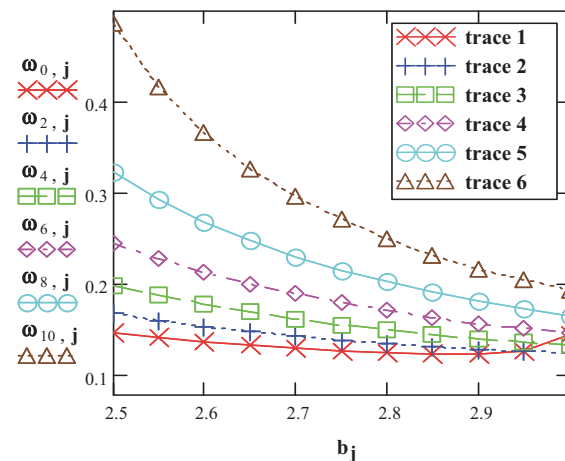
3. Параметры  $a$  и  $b$  – постоянны и соответствуют аналогу проектируемого ГМ экскаватора. Параметр  $\gamma$  равен:

$$\gamma = (38 + 2,5j) \frac{\pi}{180}, \quad (9)$$

где  $j=0..10$ .

Определяем углы  $\varphi$  и  $\alpha$  по формулам (1) и (2), вычисляем суммарную длину  $S$  гидроцилиндра подъема стрелы по формуле (5).

Определяем угловую скорость  $\omega$  и угловое



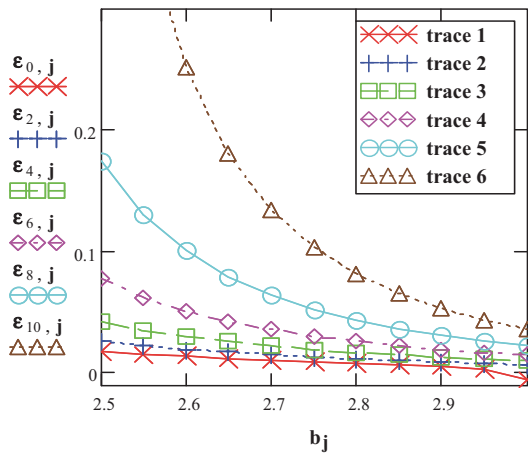
**Рис. 5.** Зависимость угловой скорости  $\omega$  от параметра  $b$ :

1 –  $t = 1$  с; 2 –  $t = 2$  с; 3 –  $t = 3$  с;  
4 –  $t = 4$  с; 5 –  $t = 5$  с; 6 –  $t = 5$  с

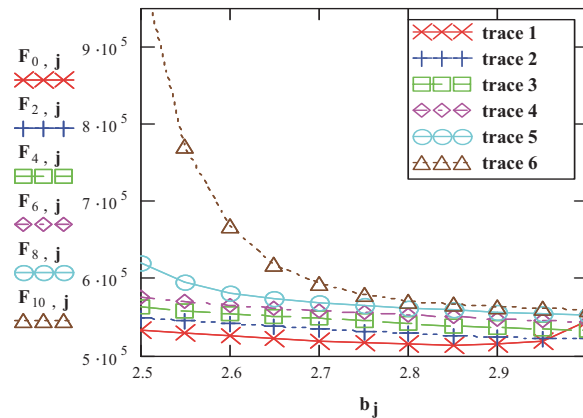
ускорение  $\varepsilon$  стреловой группы, формулы (3), (4). Строим графики зависимости  $\omega$  от  $t$ ,  $\varepsilon$  от  $t$  и  $F$  от  $t$ , для значений угла  $\gamma$  согласно уравнению (9), а также графики зависимости  $\omega$  от  $\gamma$ ,  $\varepsilon$  от  $\gamma$  и  $F$  от  $\gamma$  при движении стреловой группы  $0 < t < i$ .

Угол  $\gamma$  является важным геометрическим параметром, характеризующим положение гидроцилиндра. Зависимости  $\omega$ ,  $\varepsilon$ ,  $F$  от времени  $t$  для различных значений  $\gamma$  представлены на рис. (14 – 16).

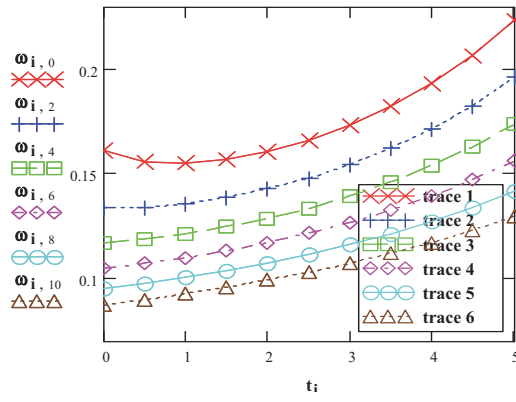
Наибольший разброс угловой скорости и ускорения в зависимости от угла  $\gamma$  установки гидроцилиндра наблюдается в верхней точке подъема стрелы (рис. 14, рис. 15). На усилие в



**Рис. 6.** Зависимость углового ускорения  $\varepsilon$  от параметра  $b$ :  
1 –  $t = 1\text{ с}$ ; 2 –  $t = 2\text{ с}$ ; 3 –  $t = 3\text{ с}$ ;  
4 –  $t = 4\text{ с}$ ; 5 –  $t = 5\text{ с}$ ; 6 –  $t = 5\text{ с}$



**Рис. 7.** Зависимость усилия в гидроцилиндре  $F$  от параметра  $b$ :  
1 –  $t = 1\text{ с}$ ; 2 –  $t = 2\text{ с}$ ; 3 –  $t = 3\text{ с}$ ;  
4 –  $t = 4\text{ с}$ ; 5 –  $t = 5\text{ с}$ ; 6 –  $t = 5\text{ с}$

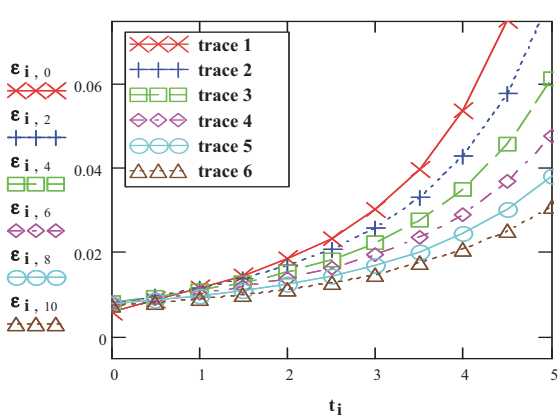


**Рис. 8.** Зависимость угловой скорости  $\omega$  от времени  $t$  для различных значений параметра  $a$ :  
1 –  $a = 0,8\text{ м}$ ; 2 –  $a = 0,9\text{ м}$ ; 3 –  $a = 1,0\text{ м}$ ;  
4 –  $a = 1,1\text{ м}$ ;  
5 –  $a = 1,2\text{ м}$ ; 6 –  $a = 1,3\text{ м}$

гидроцилиндре угол  $\gamma$  оказывает существенное влияние (рис.16), при значительном увеличении угла  $\gamma = 50 - 60^\circ$ , наблюдается возрастание усилия, развиваемого гидроцилиндром. Это объясняется уменьшением плеча АВ относительно точки О. Уменьшение угла  $\gamma$  дает снижение усилия, развиваемого гидроцилиндром. Таким образом, увеличение и уменьшение угла  $\gamma$  в момент движения дают зеркальное отображение по показателю развивающегося усилия гидроцилиндром, соответственно. Параметр  $\gamma$  в меньшей степени влияет на режимы движения ГМ, однако он должен быть согласован с параметром  $a$ .

На рис. 17 – 19 представлены зависимости  $\omega$ ,  $\varepsilon$ ,  $F$  от угла  $\gamma$  при различных положениях стрелы.

Минимальные динамические нагрузки и усилия в штоке наблюдаются при значениях  $\gamma = 38 - 50^\circ$ . Угол  $\gamma$  рекомендуется принимать



**Рис. 9.** Зависимость углового ускорения  $\varepsilon$  от времени  $t$  для различных значений параметра  $a$ :  
1 –  $a = 0,8\text{ м}$ ; 2 –  $a = 0,9\text{ м}$ ; 3 –  $a = 1,0\text{ м}$ ;  
4 –  $a = 1,1\text{ м}$ ; 5 –  $a = 1,2\text{ м}$ ; 6 –  $a = 1,3\text{ м}$

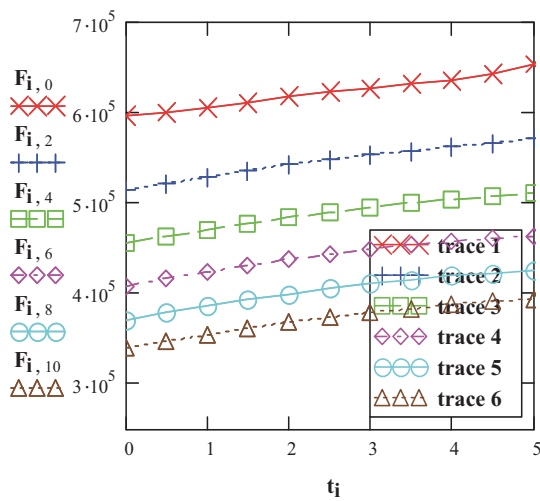
для прямой лопаты меньшим нежели, чем для обратной.

Исследование параметров ГМ, проводящиеся с учетом наиболее благоприятных условий по динамическим нагрузкам и усилиям в штоке гидроцилиндра подъема стрелы для различных видов рабочего оборудования, каждый из параметров при этом уточняется.

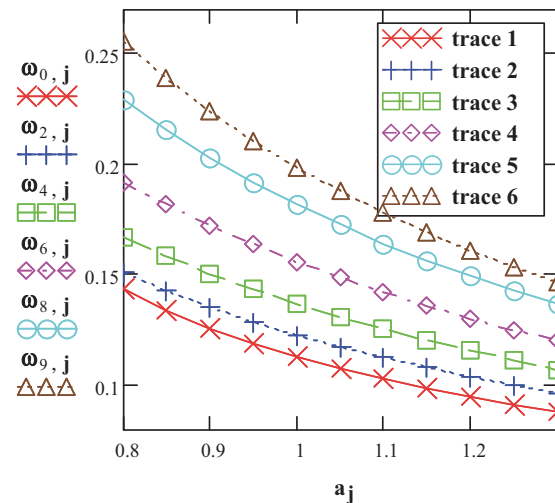
Для обратной лопаты со стандартным видом рабочего оборудования наиболее благоприятны следующие значения параметров ГМ:

$\gamma = 45 - 50^\circ$ ,  $b = 2,7 - 2,9\text{ м}$ ,  $a = 1,1 - 1,2$ . Для прямой лопаты параметры ГМ следующие:  $\gamma = 38 - 45^\circ$ ,  $\gamma = 38 - 45^\circ$ ,  $b = 2,6 - 2,8\text{ м}$ ,  $a = 1,0 - 1,1\text{ м}$ . При изменении геометрических параметров рабочего оборудования параметры ГМ рационально изменять.

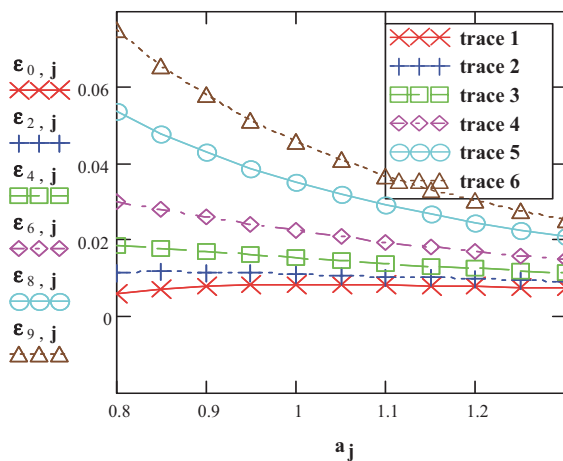
Исходя из выполненного исследования, следует, что наиболее существенное значение при



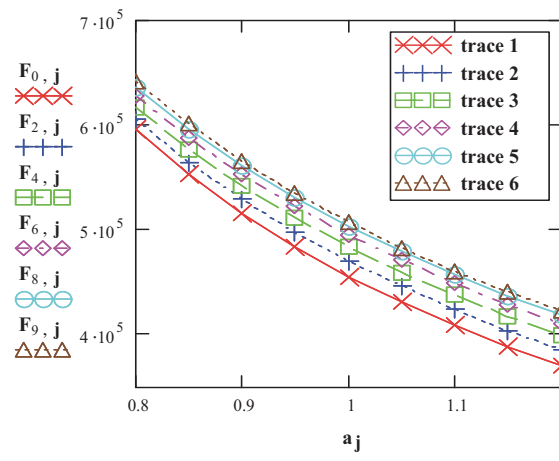
**Рис. 10.** Зависимость усилия в штоке  $F$  от времени  $\omega$  от времени  $t$  для различных значений параметра  $a$ :  
1 –  $a = 0,8 \text{ м}$ ; 2 –  $a = 0,9 \text{ м}$ ; 3 –  $a = 1,0 \text{ м}$ ;  
4 –  $a = 1,1 \text{ м}$ ; 5 –  $a = 1,2 \text{ м}$ ; 6 –  $a = 1,3 \text{ м}$



**Рис. 11.** Зависимость угловой скорости  $\omega$  от параметра  $a$ :  
1 –  $t = 1 \text{ с}$ ; 2 –  $t = 2 \text{ с}$ ; 3 –  $t = 3 \text{ с}$ ; 4 –  $t = 4 \text{ с}$ ;  
5 –  $t = 5 \text{ с}$ ; 6 –  $t = 5 \text{ с}$



**Рис. 12.** Зависимость углового ускорения  $\varepsilon$  от параметра  $a$ :  
1 –  $t = 1 \text{ с}$ ; 2 –  $t = 2 \text{ с}$ ; 3 –  $t = 3 \text{ с}$ ; 4 –  $t = 4 \text{ с}$ ;  
5 –  $t = 5 \text{ с}$ ; 6 –  $t = 5 \text{ с}$



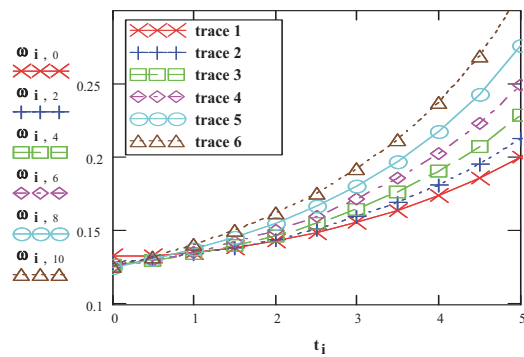
**Рис. 13.** Зависимость усилия в гидроцилиндре  $F$  от параметра  $a$ :  
1 –  $t = 1 \text{ с}$ ; 2 –  $t = 2 \text{ с}$ ; 3 –  $t = 3 \text{ с}$ ; 4 –  $t = 4 \text{ с}$ ;  
5 –  $t = 5 \text{ с}$ ; 6 –  $t = 5 \text{ с}$

снижении динамических нагрузок и усилия в гидроцилиндре стрелы оказывает параметр  $a$ , незначительное изменение параметра  $b$  необходимо при применении различных видов рабочего оборудования удлиненного исполнения, параметр  $\gamma$  рационально менять для прямой и обратной лопаты в силу специфики производства ими земляных работ.

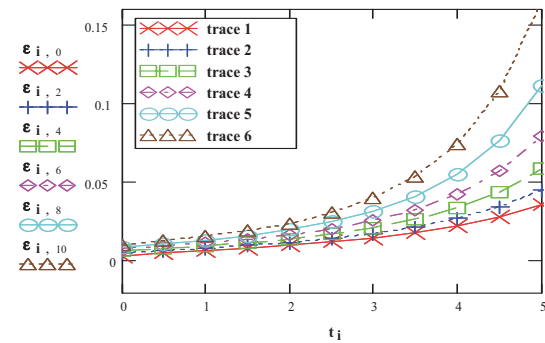
#### СПИСОК ЛИТЕРАТУРЫ

- Сушкин С.И., Макеев В.Н., Плешков Д.Д. Анализ конструктивных особенностей грузоподъемных механизмов гидравлических экскаваторов // Строительные и дорожные машины. 2012. № 6. С. 13 – 15.

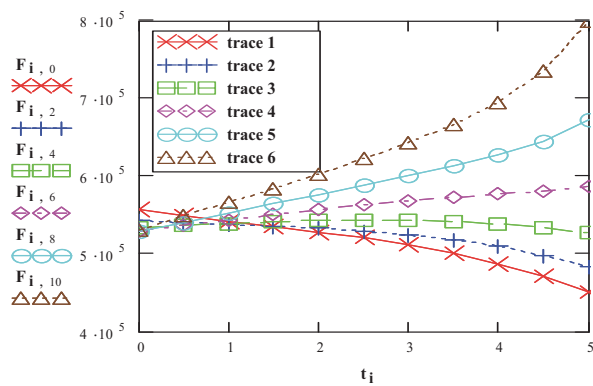
- Сушкин С.И., Макеев В.Н. Методика определения оптимального уровня инерционности и коэффициента надежности транспортно-грузового процесса лесопромышленного предприятия // Строительные и дорожные машины. 2017. № 3. С. 60-63.
- Макеев В.Н., Плешков Д.Д. Исследование и выбор параметров грузоподъемного механизма гидравлического экскаватора // Строительные и дорожные машины. 2010. № 9. С. 24 – 25.
- Свидетельство о государственной регистрации программы для ЭВМ 2008613799 РФ. Программа расчета режимных параметров стрелоподъемного механизма гидравлического экскаватора / Д.Д. Плешков, патентообладатель ВГЛТА. № 2008612575. Заявл. 16.06.2008. Опубл. 08.08.2008. Бюл. № 9.



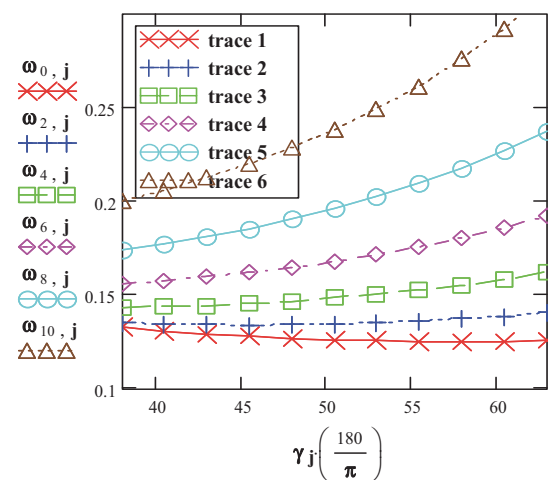
**Рис. 14.** Зависимость угловой скорости  $\omega$  от времени  $t$  для различных значений углов  $\gamma$ :  
1 –  $\gamma=38^\circ$ ; 2 –  $\gamma=43^\circ$ ; 3 –  $\gamma=48^\circ$ ; 4 –  $\gamma=53^\circ$ ; 5 –  $\gamma=58^\circ$ ; 6 –  $\gamma=63^\circ$



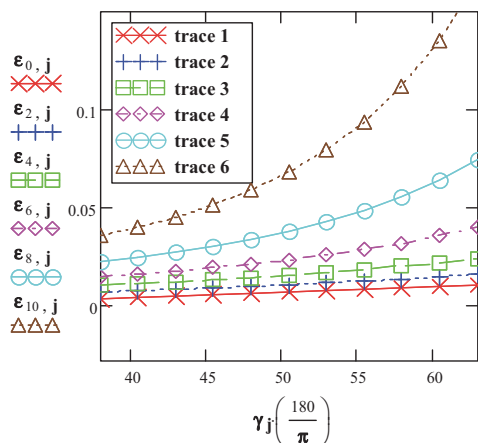
**Рис. 15.** Зависимость углового ускорения  $\epsilon$  от времени  $t$  для различных значений углов  $\gamma$ :  
1 –  $\gamma=38^\circ$ ; 2 –  $\gamma=43^\circ$ ; 3 –  $\gamma=48^\circ$ ; 4 –  $\gamma=53^\circ$ ;  
5 –  $\gamma=58^\circ$ ; 6 –  $\gamma=63^\circ$



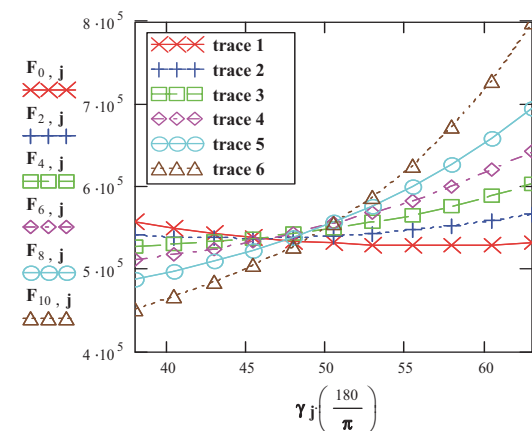
**Рис. 16.** Зависимость усилия в штоке  $F$  от времени  $t$  для различных значений углов  $\gamma$ :  
1 –  $\gamma=38^\circ$ ; 2 –  $\gamma=43^\circ$ ; 3 –  $\gamma=48^\circ$ ; 4 –  $\gamma=53^\circ$ ;  
5 –  $\gamma=58^\circ$ ; 6 –  $\gamma=63^\circ$



**Рис. 17.** Зависимость угловой скорости  $\omega$  от угла  $\gamma$  для различных положений стрелы:  
1 –  $t=1\text{c}$ ; 2 –  $t=2\text{c}$ ; 3 –  $t=3\text{c}$ ; 4 –  $t=4\text{c}$ ;  
5 –  $t=5\text{c}$ ; 6 –  $t=5\text{c}$



**Рис. 18.** Зависимость углового ускорения  $\epsilon$  от угла  $\gamma$  для различных положений стрелы:  
1 –  $t=1\text{c}$ ; 2 –  $t=2\text{c}$ ; 3 –  $t=3\text{c}$ ; 4 –  $t=4\text{c}$ ;  
5 –  $t=5\text{c}$ ; 6 –  $t=5\text{c}$



**Рис. 19.** Зависимость усилия в штоке  $F$  от угла  $\gamma$  при различных положениях стрелы:  
1 –  $t=1\text{c}$ ; 2 –  $t=2\text{c}$ ; 3 –  $t=3\text{c}$ ; 4 –  $t=4\text{c}$ ; 5 –  $t=5\text{c}$ ;  
6 –  $t=5\text{c}$

## **IMPROVING THE HYDRAULIC WORK EQUIPMENT OF ROAD-BUILDING MACHINES**

© 2019 S.I. Sushkov<sup>1</sup>, O.N. Burmistrov<sup>2</sup>, V.A. Burmistrov<sup>2</sup>, R.S. Timokhov<sup>2</sup>

<sup>1</sup> Voronezh State Forestry University

<sup>2</sup> Ukhta State Technical University

The presented article provides a solution to the problem of maximizing the potential of a hydraulic excavator, by developing the design of a lifting mechanism. This design contains an additional mechanism that allows you to change the parameters of the lifting mechanism, depending on the type of working equipment.

*Keywords:* lifting mechanism, hydraulic system, angular velocity, angular acceleration.

---

*Sergey Sushkov, Head of the Department of Industrial Transport, Construction and Geodesy, Doctor of Technical Sciences. E-mail: kafedra\_prom\_transporta@list.ru*

*Valeriy Burmistrov, Associate Professor of the Department of Engineering of Technological Machines and Equipment of the Ural State Technical University. E-mail: rtimohov@ugtu.net*

*Olga Burmistrova, Head of the Department of Technologies and Logging of the USTU, Doctor of Technical Sciences. E-mail: oburmistrova@ugtu.net*

*Roman Timokhov, Senior Lecturer, Department of Engineering of Technological Machines and Equipment. E-mail: rtimohov@ugtu.net*